

Из этих графиков видно также, что для того, чтобы приблизиться к стандартному квантовому пределу, необходимо достаточно большое время выделения сигнала. Например, при $\tau = \tau_F$ величина s/n (при оптимальной связи измерителя с пробным осциллятором) составляет около $1/4$ от уровня $(s/n)_{SQL}$, при $\tau = 3\tau_F$ — около $2/3$ и лишь при $\tau \geq 10\tau_F$ превышает $0,85 (s/n)_{SQL}$.

ЛИТЕРАТУРА

- [1] Брагинский В. Б., Воронцов Ю. И.//УФН. 1974. 114. С. 41.
[2] Брагинский В. Б.//УФН. 1988. 156. С. 93. [3] Брагинский В. Б., Манукин А. Б. Измерение малых сил в физических экспериментах. М., 1974. [4] Воронцов Ю. И., Халили Ф. Я.//Радиотехн. и электроника. 1982. 27. С. 2392.
[5] Левин Б. Р. Теоретические основы статистической радиотехники. М., 1989.

Поступила в редакцию
18.06.90

ВЕСТН. МОСК. УН-ТА. СЕР. 3, ФИЗИКА. АСТРОНОМИЯ. 1990. Т. 31, № 6

АТОМНАЯ И ЯДЕРНАЯ ФИЗИКА

УДК 539.186.3

О ВЛИЯНИИ ИСКАЖЕНИЯ НАЧАЛЬНОГО СОСТОЯНИЯ АТОМА ПОЛЕМ МНОГОЗАРЯДНОГО ИОНА НА ДВАЖДЫ ДИФФЕРЕНЦИАЛЬНЫЕ СЕЧЕНИЯ ИОНИЗАЦИИ

Н. В. Новиков, В. С. Сенашенко

*(кафедра физики атомного ядра;
кафедра оптики и спектроскопии)*

Предложено теоретическое описание ионизации атома многозарядными ионами: наряду с взаимодействием в конечном состоянии при $Z_1/V_1 < 1$ (Z_1 — заряд налетающей частицы, V_1 — скорость сталкивающихся частиц) корректно учитывается искажение начального состояния атома мишени полем налетающего иона. Показано, что с увеличением заряда и уменьшением скорости иона влияние искажения начального состояния на угловые и энергетические распределения электронов возрастает. Результаты расчетов для столкновений ионов с атомом гелия сравниваются с экспериментальными данными.

В работе [1] на основе уравнений Фаддеева, модифицированных для кулоновских потенциалов, была сделана попытка в тех же приближениях, что и для столкновений с протонами, описать угловые и энергетические распределения электронов, образующихся при ионизации атомов гелия другими положительными ионами. Однако результаты, полученные для ионов с зарядом $Z_1 > 1$ при одинаковой скорости сталкивающихся частиц, обнаружили значительно большие отличия от экспериментальных данных, чем для столкновений с протонами. Это означает, что при теоретическом описании столкновений многозарядных ионов с атомами к модели ионизации должны предъявляться более жесткие требования. Так, в отличие от столкновений с протонами при росте заряда налетающего иона необходимо учитывать его влияние на движение атомного электрона не только в конечном, но и в начальном состоянии.

Целью работы является исследование влияния искажения начального состояния нейтральной мишени полем многозарядного иона на

дважды дифференциальные сечения ионизации, описывающие угловые и энергетические распределения электронов. В отличие от работ [1, 2], где амплитуда ионизации вычислялась с волновой функцией начального состояния, соответствующей плосковолновому борновскому приближению, а в конечном состоянии учитывалась дальнедействующая часть кулоновского взаимодействия между тремя заряженными частицами, в настоящей работе используется более точная волновая функция начального состояния, описывающая рассеяние заряженной частицы на связанной паре и обладающая правильным асимптотическим поведением [3].

Ионизация сложного атома налетающим ионом может рассматриваться как столкновение с участием трех квазичастиц: 1 — налетающий ион, 2 — выбитый электрон и 3 — ион-остаток атома мишени. В этом случае волновая функция конечного состояния $\Psi_f^{(-)}$, описывающая движение системы трех свободных заряженных частиц, определяется в соответствии с работой [4] и в предположении, что основной вклад в амплитуду ионизации вносит область расстояний между сталкивающимися частицами $r_{13} \sim r_{12}$, может быть представлена в виде

$$\Psi_f^{(-)} = \Phi_{k_{23}}(r_{23}) \exp\{ik_f r_{13}\} F^{(-)}(v_{12}, r_{12}) F^{(-)}(v_{13}, r_{12}), \quad (1)$$

$$F^{(\pm)}(v_{ij}, r_{ij}) = \exp\left\{-\frac{\pi v_{ij}}{2}\right\} \Gamma(1 \pm iv_{ij}) F_1(\mp iv_{ij}, 1, \pm \pm i(k_{ij} r_{ij} \mp k_i r_{ij})), \quad (2)$$

где r_{ij} , k_{ij} и μ_{ij} — соответственно относительные координата, импульс и приведенная масса частиц i и j в конечном состоянии, k_f — импульс рассеянного иона, Z_i — заряд i -й частицы, $v_{ij} = Z_i Z_j \mu_{ij} / k_{ij}$ — кулоновский параметр, $F^{(-)}(v_{ij}, r_{ij})$ — искажающие множители, описывающие относительное движение пары частиц i и j , $\Phi_{k_{23}}(r_{23})$ — волновая функция выбитого электрона в поле иона-остатка атома мишени.

Угловые и энергетические распределения выбиваемых из атома электронов определяются амплитудой ионизации

$$t_{fi} = S_{fi} \sqrt{N_e} \langle \Psi_f^{(-)} | V_f | \Psi_i^{(+)} \rangle = S_{fi} \sqrt{N_e} \tilde{t}_{fi}, \quad (3)$$

где S_{fi} — интеграл перекрытия волновых функций атома и иона-остатка, N_e — число электронов в атоме, \tilde{t}_{fi} — трехчастичная амплитуда ионизации, V_f — оператор перехода, включающий взаимодействие рассеянного иона с атомом, которое не учитывается в волновой функции (1).

Волновая функция начального состояния была получена путем аналитического продолжения волновой функции трех асимптотически свободных заряженных частиц [4] в область энергий, соответствующих связанным состояниям пары (1, 2) при $v_i \gg \sqrt{2\varepsilon_{12}}$, где ε_{12} — энергия связи частиц 1 и 2, а v_i — скорость налетающего иона. Однако, предполагая, что область расстояний $r_{23} > 1$ вносит малый вклад в амплитуду ионизации (3), при разложении

$$F^{(+)}(Z_1 Z_3 / v_i, r_{13} = r_{12} + r_{23}) \text{ в ряд по } r_{23} / r_{12} \text{ для } Z_1 / v_i \leq 1$$

можно в волновой функции начального состояния $\Psi_i^{(+)}$ ограничиться дипольным членом разложения

$$\Psi_i^{(+)} = \varphi_0(\mathbf{r}_{23}) \exp\{i\mathbf{k}_i \mathbf{r}_{13}\} F^{(+)}\left(-\frac{Z_1}{v_i}, \mathbf{r}_{12}\right) \left\{ F^{(+)}\left(\frac{Z_1 Z_2}{v_i}, \mathbf{r}_{12}\right) + \nabla_{\mathbf{r}_{12}} F^{(+)}\left(\frac{Z_1 Z_3}{v_i}, \mathbf{r}_{12}\right) \mathbf{r}_{23} \right\}, \quad (4)$$

где $\varphi_0(\mathbf{r}_{23})$ — волновая функция связанного состояния электрона в изолированном атоме, \mathbf{k}_i — импульс налетающего иона. Полагая в случае нейтральной мишени $Z_3=1$ и воспользовавшись асимптотикой искажающих множителей (2), получаем

$$\Psi_i^{(+)} \simeq \varphi_0(\mathbf{r}_{23}) \exp\{i\mathbf{k}_i \mathbf{r}_{13}\} \left(1 + i \frac{Z_1}{v_i} \frac{(\mathbf{r}_{23} \mathbf{r}_{12})}{r_{12}^2}\right). \quad (5)$$

Здесь $\Psi_i^{(+)}$ учитывает возмущение атома полем многозарядного иона, причем величина этого возмущения растет с увеличением заряда и уменьшением скорости иона. Она обладает корректным асимптотическим поведением при $r_{12} \rightarrow \infty$ и в пределе больших энергий столкновения $v_i \rightarrow \infty$ соответствует плосковолновому приближению. Следует отметить, что первое слагаемое в (4) в виде произведения двух искажающих множителей (2), которое учитывается в работе [5], дает при $Z_1/v_i < 1$ поправки к плосковолновому приближению $\sim (Z_1/v_i)^2$, которыми можно пренебречь по сравнению с первыми двумя членами разложения второго слагаемого в (4).

С учетом определений волновых функций (1) и (5) трехчастичная амплитуда ионизации принимает вид

$$\begin{aligned} \tilde{t}_{fi} = & -Z_1 \int d\mathbf{r}_{23} \varphi_{\mathbf{k}_{23}}^*(\mathbf{r}_{23}) \varphi_0(\mathbf{r}_{23}) \exp\{i\mathbf{Q} \mathbf{r}_{23}\} \int d\mathbf{r}_{12} \exp\{i\mathbf{Q} \mathbf{r}_{12}\} \times \\ & \times \left(\frac{1}{r_{12}} + i \frac{Z_1}{v_i} \frac{(\mathbf{r}_{23} \mathbf{r}_{12})}{r_{12}^3} \right) F^{(-)*}(\mathbf{v}_{12}, \mathbf{r}_{12}) F^{(-)*}(\mathbf{v}_{13}, \mathbf{r}_{12}) = \tilde{t}_{fi}^{(1)} + \tilde{t}_{fi}^{(2)}, \quad (6) \end{aligned}$$

где $\mathbf{Q} = \mathbf{k}_i - \mathbf{k}_f$ — передаваемый импульс. Первое слагаемое в (6) определяет амплитуду ионизации с учетом лишь взаимодействия в конечном состоянии, вычисленную в работе [2], тогда как второе учитывает также искажение начального состояния электрона полем заряда налетающего иона в дипольном приближении. Аналогичный результат можно получить из оптической модели, упрощая соответствующим образом полюсную часть оптического потенциала [6].

Представим $\tilde{t}_{fi}^{(2)}$ в следующем виде:

$$\tilde{t}_{fi}^{(2)} = -\frac{Z_1^2}{v_i} \int d\mathbf{r}_{23} \varphi_{\mathbf{k}_{23}}^*(\mathbf{r}_{23}) \varphi_0(\mathbf{r}_{23}) \exp\{i\mathbf{Q} \mathbf{r}_{23}\} (\mathbf{r}_{23} \mathbf{J}(\mathbf{v}_{12}, \mathbf{v}_{13})), \quad (7)$$

где

$$\mathbf{J}(\mathbf{v}_{12}, \mathbf{v}_{13}) = i \int d\mathbf{r} \frac{\exp\{i\mathbf{Q} \mathbf{r}\}}{r^3} \mathbf{r} F^{(-)*}(\mathbf{v}_{12}, \mathbf{r}) F^{(-)*}(\mathbf{v}_{13}, \mathbf{r}). \quad (8)$$

Учитывая, что при $\mathbf{v}_{12} = \mathbf{v}_{13} = 0$

$$\mathbf{J}(0, 0) = i \frac{2i\mathbf{Q}}{\pi Q} \int d\mathbf{r} \frac{1}{r^2} \exp\{i\mathbf{Q} \mathbf{r}\}, \quad (9)$$

и считая, что поле иона изменяет лишь модуль интеграла (8), получаем

$$J(\nu_{12}, \nu_{13}) \simeq \frac{-2Q}{\pi Q} \int_0^{\infty} d\lambda \int dr \frac{\exp(-\lambda r)}{r} \exp\{iQr\} F^{(-)*}(\nu_{12}, r) F^{(-)*}(\nu_{13}, r). \quad (10)$$

Для оценки этого интеграла, используя метод контурного интегрирования Нордсика [7] и таблицы интегралов [8], получаем

$$J(\nu_{12}, \nu_{13}) \simeq -\frac{4\pi}{Q^2} QK_{dir}(\nu_{12}, \nu_{13}) \gamma(\nu_{12}, \nu_{13}), \quad (11)$$

где

$$\gamma(\nu_{12}, \nu_{13}) = {}_2F_1\left(-i\nu_{12}, \frac{1}{2}, 1, X_{12}\right) {}_2F_1\left(-i\nu_{13}, \frac{1}{2}, 1, X_{13}\right). \quad (12)$$

Здесь $X_{ij} = 2(Qk_{ij})/(Q^2 + 2Qk_{ij})$, $K_{dir}(\nu_{12}, \nu_{13})$ — кинематический множитель, учитывающий взаимодействие в конечном состоянии, явный вид которого приводится в работе [2].

С учетом (6) — (11) трехчастичная амплитуда ионизации принимает вид

$$\tilde{t}_{fi} = -\frac{4\pi Z_1}{Q^2} \tilde{F}(Q, k_{23}) K_{dir}(\nu_{12}, \nu_{13}) K_{in}(\nu_{12}, \nu_{13}), \quad (13)$$

где

$$K_{in}(\nu_{12}, \nu_{13}) = 1 + i \frac{Z_1}{v_i} Q \frac{\partial \ln \tilde{F}(Q, k_{23})}{\partial Q} \gamma(\nu_{12}, \nu_{13}). \quad (14)$$

Здесь $\tilde{F}(Q, k_{23})$ соответствует борновской амплитуде ионизации, K_{in} учитывает взаимодействие в начальном состоянии, влияние которого, как видно из формулы (3), возрастает с увеличением передаваемого импульса. Отметим, что в отличие от работы [9] амплитуда (13) при $v_i \rightarrow \infty$ стремится к $-4\pi Z_1 \tilde{F}(Q, k_{23})/Q^2$.

Воспользовавшись формулами (3) и (13), определим дважды дифференциальное сечение ионизации, описывающее угловые и энергетические распределения выбитых электронов:

$$\frac{d^2\sigma}{dE_2 d\Omega_2} = (4\pi^2 \mu_{13})^2 S_{fi}^2 N_e \sqrt{2E_2} \int d\Omega_1 \left| -\frac{4\pi Z_1}{Q^2} \tilde{F}(Q, k_{23}) \times \right. \\ \left. \times K_{dir}(\nu_{12}, \nu_{13}) K_{in}(\nu_{12}, \nu_{13}) \right|^2, \quad (15)$$

где $d\Omega_i$ — элемент телесного угла в направлении движения i -й частицы. Это определение ниже используется для расчетов сечений ионизации атома гелия многозарядными ионами.

Обсуждение результатов расчетов

Угловые и энергетические распределения электронов, выбиваемых из атома гелия различными ядрами, представлены на рис. 1—5. Расчеты были выполнены с аналитической волновой функцией основного состояния атома гелия [13], а в качестве волновой функции выбитого из атома электрона бралась точная кулоновская функция непрерывного спектра в поле заряда $Z_3=1$.

На рис. 1 показано угловое распределение электронов с энергией $E_2=33$ эВ, выбиваемых из атома гелия в столкновениях с ${}^3\text{He}^{2+}$ при

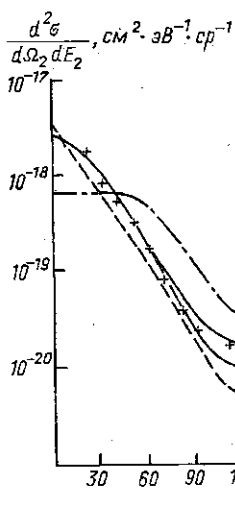


Рис. 1

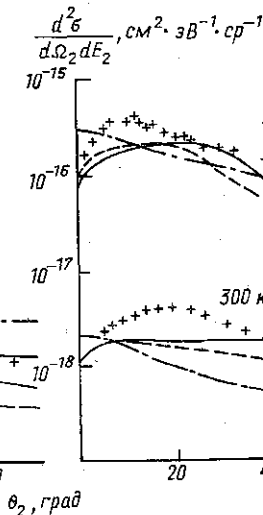


Рис. 2

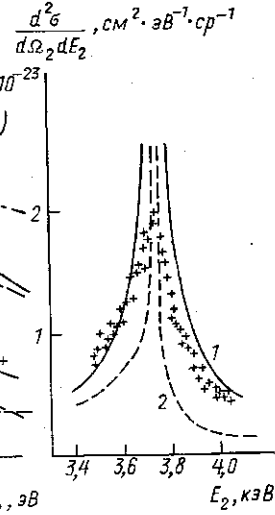


Рис. 3

Рис. 1. Угловые распределения электронов при ионизации атома He ионами ${}^3\text{He}^{2+}$ с энергией $E_1=300$ кэВ и $E_2=33$ эВ. Все расчеты выполнены по формуле (15): 1 — $K_{\text{dir}} \neq 1, K_{\text{in}} \neq 1$; 2 — $K_{\text{dir}} \neq 1, K_{\text{in}} = 1$; 3 — $K_{\text{dir}} = 1, K_{\text{in}} = 1$; 4 — $K_{\text{dir}} \neq 1, K_{\text{in}} \neq 1$ (в отличие от кривой 1 в расчетах $\bar{F}(\bar{Q}, \bar{K}_{23})$ учитывалась короткодействующая часть потенциала иона He^+ при определении волновой функции выбитого электрона); крестики — эксперимент из [10]

Рис. 2. Энергетические распределения электронов при ионизации атома He ионами ${}^3\text{He}^{2+}$ с энергией $E_1=180$ и 300 кэВ под углом эжекции $\theta_2=17^\circ$; крестики — эксперимент из [11]. Обозначения те же, что на рис. 1

Рис. 3. Энергетические распределения электронов при ионизации атома He ионами O^{8+} с энергией $E_1=109,8$ МэВ под углом эжекции $\theta_2=0$. Эксперимент из [12]. Обозначения те же, что на рис. 1

$E_2=300$ кэВ. Учет искажения начального состояния полем налетающего иона (кривая 1) приводит к заметному уменьшению отличий между теорией и экспериментом в задней полусфере углов эжекции. Оставшиеся отличия могут быть устранены соответствующим выбором функции $\Phi_{k_{23}}(r_{23})$, более точно учитывающей экранировку заряда ядра остаточного иона 1s-электроном (кривая 4). Учет взаимодействия только в конечном состоянии (кривая 2), описывая угловые распределения в передней полусфере углов эжекции, приводит к результатам, значительно отличающимся от экспериментальных данных при $\theta_2 \geq 90^\circ$.

На рис. 2 показаны энергетические распределения электронов при $\theta_2=17^\circ$, выбиваемых из атома гелия в столкновениях с ${}^3\text{He}^{2+}$ при $E_1=180$ и 300 кэВ. Для электронов с энергией $E_2 \geq 20$ и 35 эВ соответственно учет искажения начального состояния полем налетающего иона дает хорошее согласие с экспериментом по сравнению с другими вариантами расчетов. Однако максимум, наблюдаемый экспериментально при малых энергиях электронов, объяснить не удается [15].

Влияние искажения начального состояния на форму «каспа» в энергетическом распределении электронов при $\theta_2=0$, соответствующего захвату выбитого из атома электрона в континуум налетающего иона, рассмотрено на примере столкновений ядра кислорода O^{8+} с атомами гелия при $E_1=109,8$ МэВ (рис. 3). Для сравнения с экспери-

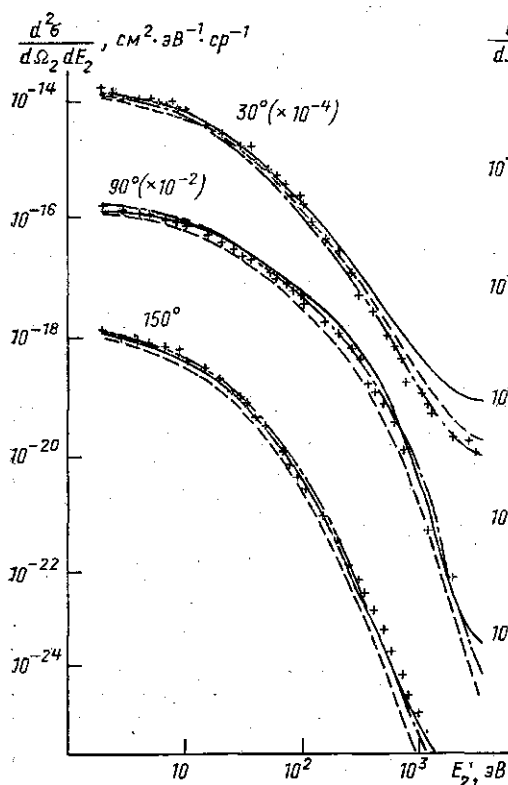


Рис. 4

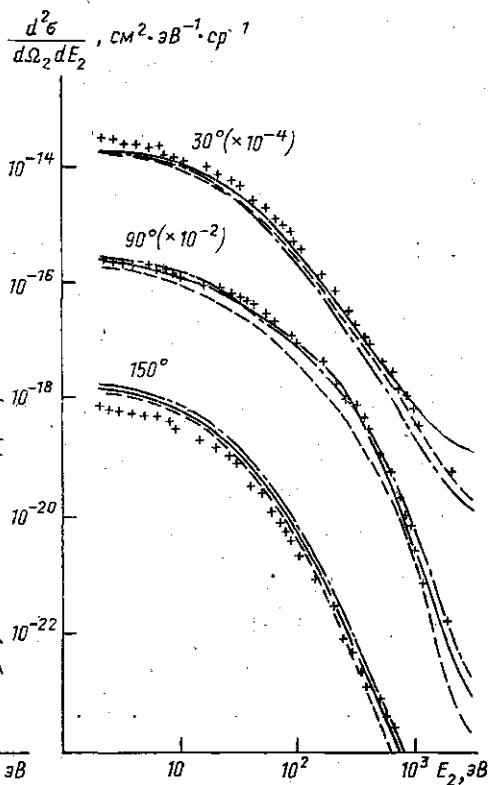


Рис. 5

Рис. 4. Энергетические распределения электронов при ионизации атома He ионами O^{8+} с энергией 5 МэВ/нуклон под углами эжекции 30° , 90° и 150° . Эксперимент из [14]. Обозначения те же, что на рис. 1

Рис. 5. Энергетические распределения электронов при ионизации атома He ионами Ne^{10+} с энергией 5 МэВ/нуклон под углами эжекции 30° , 90° и 150° . Эксперимент из [14]. Обозначения те же, что на рис. 1

ментальными данными, которые нормировались к расчетам в точке $E_2=3619$ эВ, вычислялась свертка теоретических кривых с аппаратной функцией [12], соответствующей угловому и энергетическому разрешению $\Delta\theta_2=1,4^\circ$ и $\Delta E_2=0,2$ эВ соответственно. Расчеты показывают, что учет взаимодействия электрона с налетающим ионом в начальном состоянии ($K_{in} \neq 1$) приводит к увеличению ширины и уменьшению асимметрии «каспа», характер которой зависит от взаимодействия электрона с ионом-остатком атома мишени. При этом форма экспериментального энергетического распределения ближе к вычисленному с учетом влияния поля иона как в начальном, так и в конечном состояниях ($K_{dir} \neq 1$ и $K_{in} \neq 1$).

На рис. 4—5 показаны энергетические распределения электронов, образующихся в результате ионизации атома гелия быстрыми ядрами O^{8+} и Ne^{10+} при $E_i=5$ МэВ/нуклон и углах эжекции 30° , 90° и 150° . Расчеты показывают, что учет искажения начального состояния полем налетающего иона улучшает количественное согласие теории с экспериментом. Однако из-за большой скорости сталкивающихся частиц влияние искажения начального состояния атома полем многозарядного

иона на энергетические распределения электронов не так сильно, как при более медленных столкновениях с ${}^3\text{He}^{2+}$.

В заключение отметим, что предложенное описание ионизации нейтрального атома многоязычными ионами, которое наряду с взаимодействием в конечном состоянии при $Z_1/v_i \leq 1$ корректно учитывает искажение начального состояния атома мишени полем налетающего иона, хорошо согласуется с имеющимися экспериментальными данными [10—12]. Полученные результаты показывают, что с увеличением заряда и уменьшением скорости налетающего иона влияние искажения начального состояния на угловые и энергетические распределения электронов возрастает.

ЛИТЕРАТУРА

- [1] Годунов А. Л., Сенашенко В. С. // Тез. докл. IX ВКЭАС. Рига, 1984. С. 91. [2] Годунов А. Л., Сенашенко В. С. // Тез. докл. X ВКЭАС. Ужгород, 1988. С. 98. [3] Годунов А. Л., Куникеев Ш. Д., Сенашенко В. С. // Физика плазмы. 1986. 12. С. 1355. [4] Меркурьев С. П., Фаддеев Л. Д. Квантовая теория рассеяния для систем нескольких частиц. М., 1985. С. 247. [5] Пресняков Л. П. // Тр. ФИАН. 1970. 51. С. 20. [6] Ву Т. Ю., Омута Т. Квантовая теория рассеяния. М., 1969. С. 239. [7] Nordsieck A. // Phys. Rev. 1954. 93. P. 785. [8] Градштейн И. С., Рыжик И. М. Таблицы интегралов, сумм, рядов и произведений. М., 1963. С. 313. [9] Fainstein P. D., Ponce V. H., Rivarola R. D. // J. Phys. B. 1988. 21. P. 287. [10] Prost M. Diplomarbeit. Frein Universität. Berlin. 1988. [11] Irby V. D. et al. // Phys. Rev. 1988. A37. P. 3612. [12] Berry S. D., Sellin I. A. Abstr. of Papers. VIII ICAP. Göteborg. 1982. P. B51. [13] Green L. C. et al. // Phys. Rev. 1964. 98. P. 757. [14] Platten H. et al. // Abstr. of Contr. Papers. XV ICPEAC. Brighton. 1987. P. 437. [15] Bernardi G. C. et al. // Phys. Rev. 1989. A40. P. 6863.

Поступила в редакцию
05.04.90

ВЕСТН. МОСК. УН-ТА. СЕР. 3, ФИЗИКА. АСТРОНОМИЯ. 1990. Т. 31, № 6

РАДИОФИЗИКА

УДК 621.371.3

ДЕНОРМАЛИЗАЦИЯ РАССЕЯННОГО ИЗЛУЧЕНИЯ В СВОБОДНОМ ПРОСТРАНСТВЕ

С. М. Голынский

(кафедра физики атмосферы и математической геофизики)

Рассматриваются возможности денормализации излучения, рассеянного при прохождении через плоский хаотический экран и распространяющегося далее в свободном пространстве. Обсуждаются вопросы моделирования начального распределения поля на экране по экспериментальным данным в плоскости наблюдения.

Общепринято считать, что распространяющееся в свободном пространстве рассеянное излучение нормализуется [1—3]. Однако в аналогичной с математической точки зрения задаче радиотехники показано, что при определенных условиях линейная система может денормализовать входной сигнал [4, 5]. В настоящем сообщении анализируется вопрос возникновения подобных ситуаций в волновых задачах.

Рассмотрим прохождение монохроматического излучения через безграничный хаотический экран, расположенный в плоскости $z=0$. Пусть $E_0(\rho')$ — граничное поле на экране, где $\rho'=(x', y')$ — двумер-